



## 微生物

&lt;中&gt;

柳洲鉉

〈延世大 食品工學科長〉

有馬啓

〈東京大 教授〉

### 第Ⅱ編 Mucorrennin의 活性中心과 作用機構

前編에서 *Mucor pusillus* を 利用하여 Mucorrennin의 生活法, 精製法 및 그의 物理化學的諸性質에 關하여 記述하였다.

여기에서는 Mucor-rennin의 活性中心과 作用 및 聚乳機構에 關하여 生覺해 보고자 한다.

Table. Ⅱ-1 金屬 ion 의 影響

Metal	Proteolytic activity
AgNO <sub>3</sub>	54%
NiCl <sub>2</sub>	—
MgCl <sub>2</sub>	100
SnCl <sub>2</sub>	98
CdCl <sub>2</sub>	85
Pb(NO <sub>3</sub> ) <sub>2</sub>	80
ZnSO <sub>4</sub>	50
CuSO <sub>4</sub>	—
HgCl <sub>2</sub>	68
BaCl <sub>2</sub>	105
MnSO <sub>4</sub>	129
CaCl <sub>2</sub>	102
NaCl	104
None	100

M.R. : 9.5mg/ml, Metal 10<sup>-3</sup>M (final conc.)  
35°C, 30分反應

### 1. Mucor-rennin의 Active site

Mucor rennin의 活性中心을 알기 為하여 여러 金屬 ion 및 化學修飾劑가 酶素活性에 미치는 影響을 調査하였다 (Table Ⅱ-1, Ⅱ-2)<sup>1,2,3)</sup>. 金屬 ion 이 活性을 顯著히 阻害하는 것은 없었고, SH試藥, Serine 化學修飾劑들中 어 느 것 이고 阻害하는 것은 볼 수 없었다. I<sub>2</sub> 만이 酶素活性을 顯著하게 阻害하였다 (Fig. Ⅱ-1). I<sub>2</sub> 는 어떤 酶素蛋白質의 Tyrosine, Cystin, Histidine, Tryptophan 殘基와 結合하여 酶素活性을 阻害하는 것으로 알려져 있다. I<sub>2</sub>에 依한 Mucor-

Table. Ⅱ-2. 化學修飾의 影響

Chemical reagents	Final concentration, M	Relative milk-clotting activity, %
None		100
Nekelgon	2×10 <sup>-3</sup>	93
N-Ethyl maleimide	2×10 <sup>-3</sup>	96
p-Chloromercuribenzoic acid	2×10 <sup>-4</sup>	96
EDTA	2×10 <sup>-3</sup>	113
Diisopropyl phosphate	2.5×10 <sup>-2</sup>	96
Propylene oxide	2×10 <sup>-3</sup>	96
Iodoacetamide	2×10 <sup>-2</sup>	96

Mucor-rennin : 0.2ml of 1×10<sup>-3</sup>M (pH6.0)  
35°C, 3時間反應

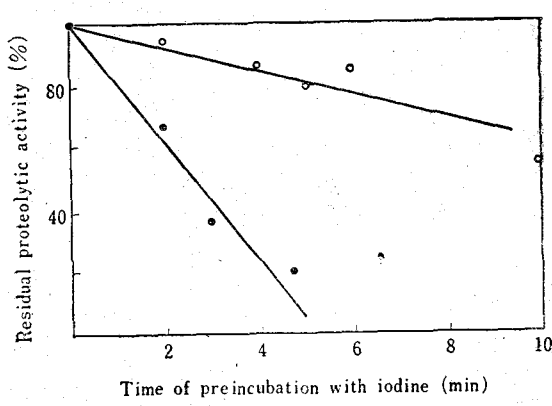


Fig. II-1.  $I_2$ 에 의한 阻害

M.R : 0.175M in McIlvaine buffer pH6.7

:  $1 \times 10^{-4}$  M  $I_2$   
:  $1 \times 10^{-5}$  M  $I_2$  (final conc.)

35°C

ennin 酶素活性의 阻害는 pH 5.0 以上에서 顯著하게 일어난다 (Fig. II-2). 다시  $^{131}I_2$ 을 각 pH에서 酶

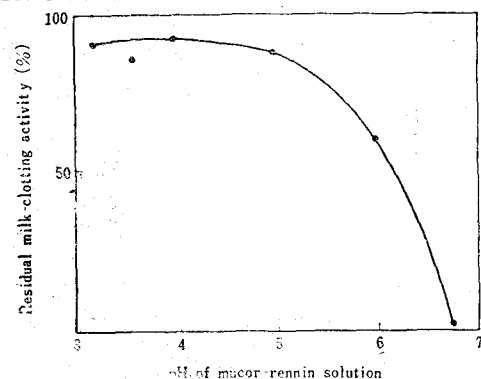


Fig. II-2.  $I_2$ 에 의한 阻害에 對하여 미치는 pH의 影響

$I_2$  :  $2 \times 10^{-4}$  M (final conc)

35°C, 30分反應

Table II-3.  $^{131}I_2$ 의 取込에 對한 pH의 影響

pH of Mucor- rennin solution	Volume of 1.5% Mucor- rennin, ml	Volume of Water ml	Count of $^{131}I_2$	
			Observed cpm	Incorporated cpm
3.2	0.5	0.2	8984	3360
4.3	0.5	0.2	11118	5494
5.1	0.5	0.2	8636	3120
6.0	0.5	0.2	19661	14037
7.0	0.5	0.2	16252	10628
Control	—	0.7	5624	0

素를 作用시켰을 때, pH 5.0 以下에서는 酶素蛋白質에 6,000 p.p.m 以下, pH 6.0 以上에서는 10,000 p.p.m 以上의 取込이 觀察되었다 (Table. II-3)<sup>3,4)</sup>

以上의 結果로부터 Mucor rennin의 Active site<sup>5)</sup>는 Histidine, Tyrosin, Tryptophan 残基中一部 또는 全體가 關與한다고 推定된다.

蛋白質溶液을 Methylene blue 存在下에서 빛을 照射할 때, 光增感反應에 依하여 Histidine 残基가 酸化된다.  $I_2$ 를 作用하여 修飾後, Mucor rennin 的 光酸化에 依한 修飾을 行하였다.<sup>1,2,5)</sup> 이 方法에서는 酶素蛋白中 Histidine, Tyrosine, Tryptophan 残基가 酸化된다. 酸化時間別로 酶素의 UV Spectrogram을 圖示할 때 Fig. II-3과 같이 O.D. 276  $\mu\text{m}$  吸收와 比

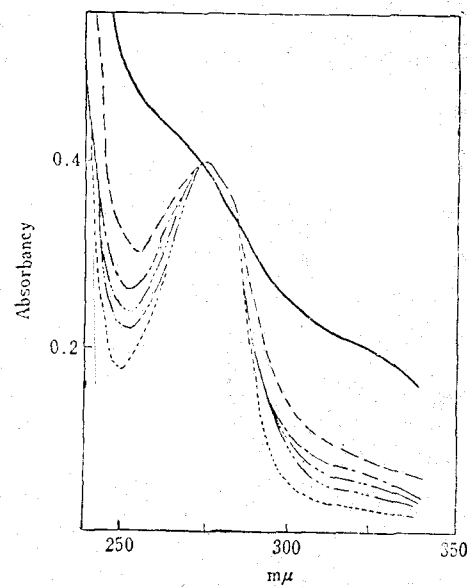


Fig. II-3. 光酸化에 依한 Mucor rennin의 Ultra-violet Spectrum의 變化

照射時間(min); 0………, 30………, 60………,  
90………, 150………, 280———,

較하여 O.D. 250  $\mu\text{m}$ 의 吸收值은 增加한다. 250  $\mu\text{m}$ /276  $\mu\text{m}$ 에 對하여 酶素의 残存活性을 Pilot 할 때 이 值의 增加와 더불어 MCA의 減少가 나타났다 (Fig. II-4).

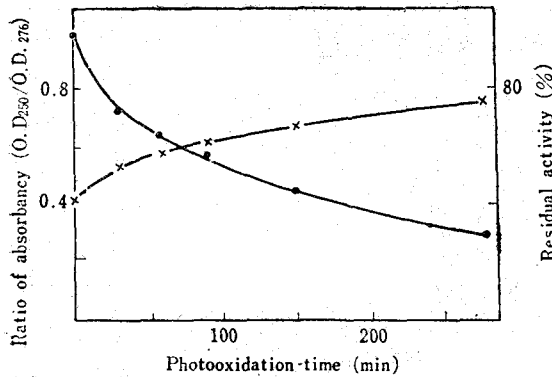


Fig. II-4 O.D.<sub>250</sub>/O.D.<sub>276</sub>과 残有活性

(milk clotting activity)  
x : absorbancy ratio O.D.<sub>250</sub>/O.D.<sub>276</sub>

다시 Mucor-rennin 의 M.C.A.의 減少와 酵素蛋白質中의 Histidine, Tyrosine, Tryptophan 殘基의 減少를 보면 Fig. II-5와 같이 酸化에 依하여 残基의

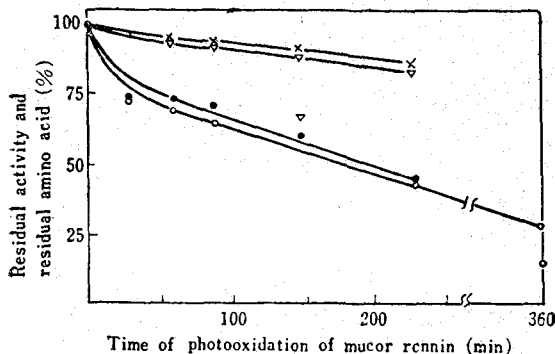


Fig. II-5 光酸化에 依한 残有 amino acid殘基와 残存活性의 變化

○ : M.C.A.      ▽ : Tyrosine  
● : Histidine    x : Tryptophan

減少와 M.C.A.의 減少間に 平行關係가 있었다. 이結果 Mucor-rennin 中의 Histidine 残基가 活性中心에 存在하는 可能성이 豫測되었다.<sup>66)</sup>

I<sub>2</sub>, 光酸化修飾에 依하여 Mucor rennin 的 活性中心에 Histidine 残基가 存在할 可能성이 豫測되었으나 이보다 明確히 하기為한 目的으로 D.H.T를 酵素蛋白質에 反應시켜 蛋白質中의 Histidine, Tryptophane 残基을 修飾하였다.<sup>67)</sup> 이 反應으로 생긴 Biazo-histidine, Biazotyrosine 誘導體는 480 nm, 550 nm에 각각 最大吸收를 갖고 있으므로, 別個로 修飾殘基量

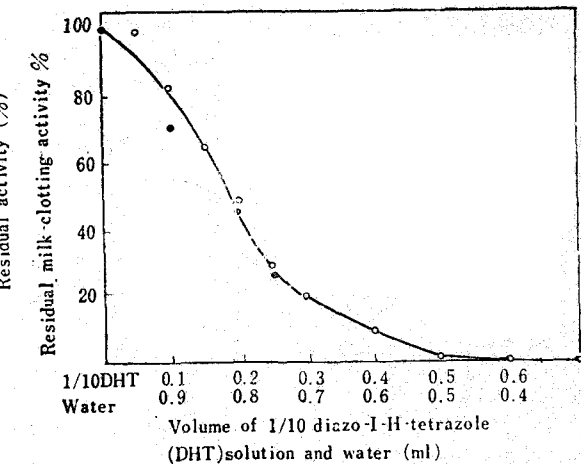


Fig. II-6 DHT에 依한 失活

○ : 90分反應  
● : 180分反應  
35°C

을 定量할수있다.<sup>68)</sup> Mucor rennin 은 D.H.T에 依하여 特異하게 阻害된다(Fig. II-6).

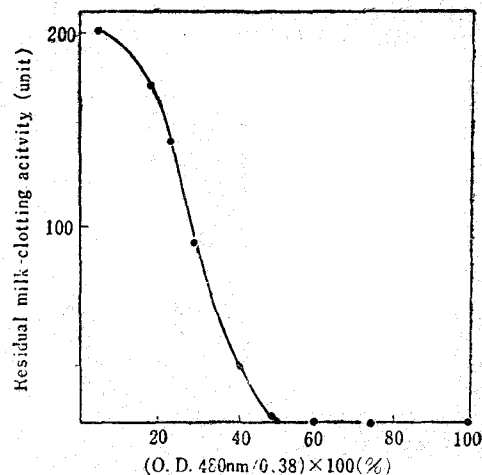


Fig. II-7 O.D.450μm의 增加와 残有活性

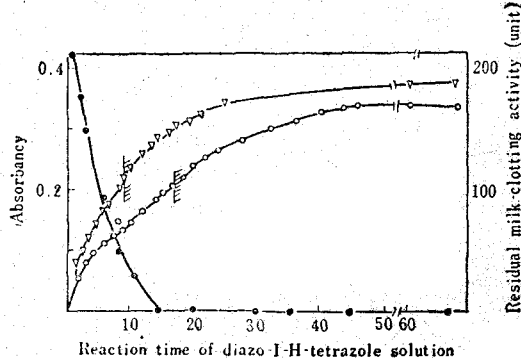


Fig. II-8. Histidine의 修飾數와 CO活性

: M.C.A. (1/2DHT)  
 : 480 μm (1/2DHT)  
 : 480 μm (DHT) pH6.0, 21°C

480 μm 吸收의 增加에 따라 M.C.A의 急速한 減少가 生긴다 (Fig. II-7), Fig. II-8은 DHT의 濃度를 달리 하여, Mucor rennin의 修飾反應을 經時으로 480 μm의 吸收增加와 殘存 M.C.A의 變化를 檢討한 結果이다.

480 μm의 吸收는 反應時間이 經過됨에 따라 增加하고 그의 吸收曲線의 O.D. 480 μm [ 0.19付近에서 굽곡이 생긴다.

이때 100% 失活되었다.

酵素中, 全 Histidine 残基가 Diazo 化되었을 때 O.D. 480 nm 은 0.38% 이 된다. 따라서 Amino acid 分析에서 算出한 酵素蛋白質의 2分子 Histidine中 1分子가 DHT에 依하여 修飾됨으로써 酵素活性이 100% 失活하였다고 生覺된다.

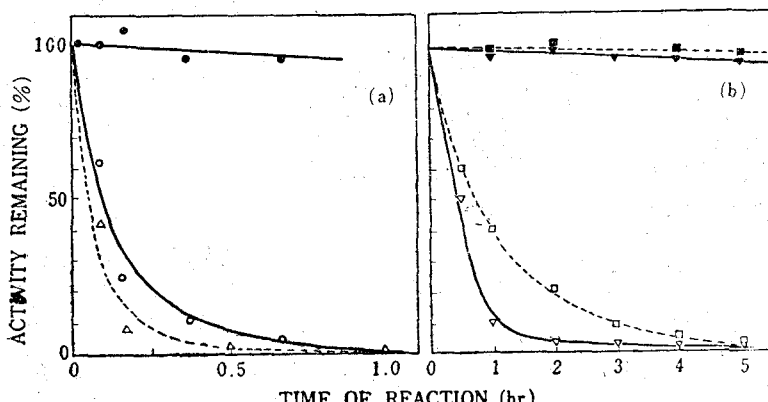
以上과 같은 化學的修飾法의 實驗結果, Mucor

rennin 蛋白質 1分子에 包含되어 있는 2分子의 Histidine 中 1分子의 残基가 Mucor-rennin의 活性에 重要한 役割을 한다고 할 수 있다.

一般的으로 acid protease는 Asp 또는 Glu의 Carboxyl 基가 그의 活性에 重要한 役割을 하고 있음이 確認되어 있고 Cu<sup>++</sup>의 存在下에서 Diazo-acetyl, L-Norleucine Methylester(DAN)에 依하여 그의 Carboxyl 基가 esterification 되어 失活됨이 알려져 있다. DAN反應은 다음과 같이 일어난다. (William H. Stein, J.B.C. 244(1969))

DAN에 依한 化學修飾은 東京大學理學部生化學教室, 高橋健二氏에 依하여 Mucor-rennin, Calf-rennin, Rhizopus Chinensis acid protease, Aspergillus saitoi, protease의 連의 Acid protease에 對하여 行하였다.

Fig. 23은 DAN와 各酵素의 反應을 나타내 있지만 Cu<sup>++</sup>非存在下에서는 거의 失活치 않으나 Cu<sup>++</sup>存完全히 失活한다. 또는 DAN의 酵素分子로의 取込은 酵素 1分子當 Norleucine 1分子가 取込되어, 活



Rates of inactivation of acid proteases by reaction with diazoacetyl-DL-norleucine methyl ester at 14°C. (a) *Rhizopus chinensis* acid protease: ●, protein (0.02%); ○, protein (0.02%): DAN, 1:43 (molar ratio), pH5.0; △, protein (0.02%): Cu (II), 1:43:220, pH5.6. *Aspergillus saitoi* acid protease: △, protein (0.02%): DAN: Cu (II), 1:53:200, pH5.6. (b) *Mucor pusillus* acid protease: ■, protein (0.1%): DAN, 1:45, pH5.6; □, protein (0.1%): DAN: Cu (II), 1:45:40, pH5.6; ▼, protein (0.1%): DAN: Cu (II), 1:45:40, pH5.6; ▽, protein (0.1%): DAN: Cu (II), 1:45:40, pH5.6.

性을 完全히 惡게된다(Fig. II-9). 따라서 Mucor rennin 的 酶素分子中에는, 다른 Acid protease 와 같아 酶素活性에 關與하는 Carboxyl 基 1 個가 存在함이 分明하나, Asp 殘基인지 Glu 殘基인지는 檢討中이다.<sup>3)</sup>

## 2. 基質 特異性과 細乳機構

### a) 合成基質에 對한 特異性<sup>7), 8)</sup>

Mucor-rennin 은 acid protease 的 一種이다. 一般的으로 acid protease 是 aromatic, hydrophobic, amino acid, 즉 Phe, Tyr, Leu, Val, Ile 等에 隣接한 peptide 結合을 切斷하는것이 알려져 있다. 多數의 合成 dipeptide에 對하여 Mucor-rennin 作用을 調査하였으나 dipeptide에는 极히 限定된 作用을 하였다(Table. II-5).

Table. II-4

Stoichiometry of reaction of diazoacetyl-DL-norleucine methyl ester with acid proteases.<sup>1)</sup>

Enzyme	Extent of inactivation (%)	No. of norleucine residue introduced/molecule
Rhizopus chinensis acid protease	100	0.98
Aspergillus saitoi acid protease	100	0.93
Mucor pusillus acid protease	93	0.97
Calf rennin	92	0.98

1) The proteins were treated with DAN and Cu (II) under similar conditions to those described

N-Ac-L-Phe <sup>t</sup> L-TyrOH	-	Z-L-Gly-L-ArgOH	-
N-Ac-L-Phe <sup>t</sup> L-TyrI <sub>2</sub>	-	Z-L-Gly-L-HisOH	-
Z-L-Phe <sup>t</sup> L-TyrOH	+	Z-L-Gly-L-ProOH	-
Z-L-Phe <sup>t</sup> L-PheOH	±	Z-L-Pro-L-TyrOH	-
Z-L-Phe <sup>t</sup> L-LeuOH	+	L-Leu-L-TyrOH	-
Z-L-Phe <sup>t</sup> L-GlyOH	-	D-Leu-L-TyrOH	-
Z-L-Tyr-L-LeuOH	-	L-Leu-L-PheOH	-
Z-L-Tyr-L-LeuNH <sub>2</sub>	-	L-Leu-L-GlyOH	-
Z-L-Gly-L-TyrOH	-	D-Leu-L-GlyOH	-
Z-L-Gly-L-PheOH	-	L-Tyr-L-LeuOH	-
Z-L-Val-L-TyrOH	-	L-Leu-Gly-PheOH	-
Z-L-Gly-L-PheOH	-	L-Leu-Gly-GlyOH	±
Z-L-Gly-L-PheNH <sub>2</sub>	-	D-Leu-Gly-GlyOH	-
Z-L-Gly-L-LeuOH	-	L-Gly-Pro-AlaOH	-
Z-L-Gly-L-LeuNH <sub>2</sub>	-	Z-Gly-Pro-LeuOH	-
		Z-Gly-Pro-Leu <sup>t</sup> Gly	+

Table. II-5 合成 dipeptide에 對한 特異性

가장 分解率이 높은 基質은 pepsin 的 最適基質인 N-Ac-L-Phe-L-Tyr I<sub>2</sub>이고, 그 外에 Phe-Tyr의 dipeptide에 若干 作用하였다. Calf-rennin, pepsin 的 좋은 基質인 Z-L-Glu-L-Tyr OH에 對하여는 活性이 없었다. 一般的으로 곱팡이의 acid protease는 合成 dipeptide에 對하여 낮은 活性을 나타내나, Mucor-rennin은 depeptide에 對하여 매우 限定된 特異성을 갖고 있다. Fig. II-10의 N-Ac-L-Phe-L-Tyr I<sub>2</sub>에 對한 Lineareuer-Burk plot 을 보면 Km,

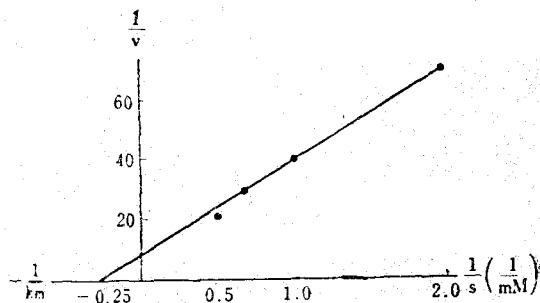


Fig. II-10 N-Ac-L-Phe-L-Tyr I<sub>2</sub>에 對한 Km, Kcat

	Km(mM)	Kcat(sec <sup>-1</sup> )
Mucor-rennin pH3.5	4.0	0.004
Pepsin { pH2.0 4.5	0.08	0.2
	0.8	0.07

Kcat 值는 pepsin에 比하여 數10分之 1 值이다. 다음 合成 tripeptide 以上의 合成基質에 對한 特異性를 본 것이 Table. II-6이다.

Table II-6 Secondary interaction

Peptides	Action on Z-X-Tyr-Ala		Hydrolysis%
	2hr	20hr	
Z-Tyr-Ala	0	0	
Z-Gly-Tyr-Ala			7
Z-Ser-Tyr-Ala			22
Z-Ala-Tyr-Ala			5
Z-Val-Tyr-Ala	8	29	
Z-Ile-Tyr-Ala	10	43	
Z-Leu-Tyr-Ala	5	19	
Z-Phe-Tyr-Ala	13	58	
Z-Tyr-Tyr-Ala	20	78	

Action on Z-X-Phe-Leu-Ala and Z-X-Gly-Phe-Tyr		
Peptides	Hydrolysis%	
P <sub>4</sub> -P <sub>3</sub> -P <sub>2</sub> -P <sub>1</sub> -P <sub>2</sub>	2hr	20hr
Z-Phe-Leu-Ala	9	39
Z-Gly-Phe-Leu-Ala	56	100
Z-Ala-Phe-Leu-Ala	44	94
Z-D-Ala-Phe-Leu-Ala	25	78
Z-Phe-Tyr		4
Z-Gly-Phe-Tyr	10	42
Z-Gly-Gly-Phe-Tyr	7	16
Z-Ala-Gly-Phe-Tyr	18	60
Z-D-Ala-Gly-Phe-Tyr		6

Z-Phe-Leu-Ala	9	39
Z-Phe-Leu-D-Ala		6
Z-Phe-Leu-Ala-Ala	39	100
Z-Phe-Leu-Ala-D-Ala	12	34

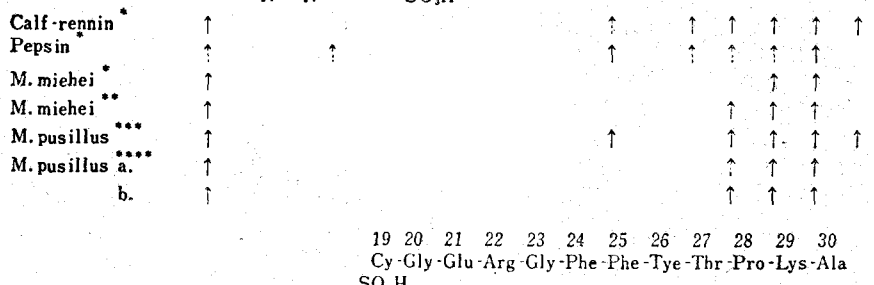
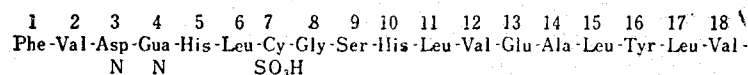
이것은 tripeptide Z-Phe-Leu-X, Z-X-Tyr-Ala, Z-Phe-X-Ala, tetrapeptide Z-Phe-Leu-Ala-X, Z-X-Phe-Leu-Ala의 X位에 여러種類의 amino acid 을結合시켜 切斷點에 있어서 Amino acid種類가 미치는活性의影響, 切斷點의 C末端側, N末端側에 amino acid鎖를 延長시켰을때의活性에 미치는效果即 secondary interaction을 調査하였다.

그結果, aromatic hydrophobic amino acid類에特異性를 갖고, 切斷된 peptide結合으로부터 C末端側, N末端側으로 2~3殘基의 amino acid 을延長시킨것이飛躍의活性를 나타냄으로서 이位置의 amino acid殘基가切斷된 peptide結合의susceptibility에重要한役割을하고 있음이밝혀졌다.

### b) Insulin B Chain에對한特異性

Protease의基質異性의研究에는一般的으로amino acid殘基數30個를 가지고 있는 Insulin B-chain을使用한다. Mucor-rennin에서도 E(Enzyme):S(Substrate)=1:100(重量比), pH 3.2, 40°C, 10分間, E:S=1:1,000, pH 3.9, 37°C 19時間의2個條件下에서各各反應시켜調査하였다. primary로Mucor-rennin에依한切斷되는 peptide結合은 Phe

Action on Z-Phe-Leu-X and Z-Phe-Leu-Ala-Z		
Peptides	Hydrolysis%	
P <sub>2</sub> -P <sub>1</sub> -P <sub>1</sub> -P <sub>2</sub> -P <sub>3</sub>	2hr	20hr
Z-Phe-Leu		0
Z-Phe-LeuNH <sub>2</sub>		0
Z-Phe-Leu-Gly		22



↑ : Bonds hydrolyzed primarily

↑↑ : Bonds hydrolyzed secondarily

\* : W. Rickert : C. R. Trav. Lad. Carlsberg  
38 1970

\*\* : M. M. Sternberg : Fourth International  
Fermentation Symposium  
(1972)

\*\*\* : J. M. Mecuuioush : S. Dairy sci., 54 (1971)

\*\*\*\* : K. Arima : Unpublished data

a : 19hr. digest

b : 10min. digest

Calf-rennin

Pepsin

M. miehei

M. miehei

M. pusillus

M. pusillus

Fig. II-11 Insulin B-chain에對한特異性

(1)-Val(2), Leu(15)-Tyr(16), Tyr(16)-Leu(17), Phe(24)-Phe(25)이지만 그中에서도 Tyr(16)-Leu(17)이 무었보다容易하게 加水分解되었다.<sup>10</sup> Mucor-rennin은 合成基質의 경우와 같이 Tyr, Leu, Phe, Val을 包含한 peptide結合을 特異하게 加水分解한다(Fig. II-11). 다른 acid protease, pepsin, calf-rennin等과 比較時 pepsin보다는 基質特異性이 限定되어 있음으로, calf-rennin에 類似한 特異性을 갖고 있으나, 이것보다는 限定되어 있다. 이와 같이 Mucor-rennin은 acid protease中에서도 가장 限定된 基質特異性을 나타내는 酶素이다. 이 酶素의 M.C.A에 比하여 낮은 蛋白質分解活性을 考慮하면 흥미있는 일이다. 그리고 Mucor-miehei가 生產하는 acid protease는 合成基質, Insulin  $\beta$ -chain에 對한 特異性도 Mucor-rennin과 同一한 結果를 나타냈다.

### C) Mucor-rennin에 依한 凝乳機構

#### i) $\kappa$ -casein 造構와 Calf-rennin作用

牛乳中의 蛋白質 casein은  $\alpha_1$ ,  $\beta$ ,  $\gamma$ ,  $\kappa$ -Casein으로構成되어 있다. 約 90%程度가 ( $\alpha_1 + \beta$ ) casein으로써,  $\kappa$ -casein은 全體의 10%程度이다.  $\kappa$ -casein은 牛乳中의 Casein蛋白質 安全化, 即 Casein micelle의 形成에 對하여 protective colloid로써 寄與하고 있다. 牛乳中의 蛋白質이 凝乳沈澱치 않는 것은  $\kappa$ -casein役割때문이다. 現在까지 解明되어 있는  $\kappa$ -ca-

sein의 Amino acid組成은 Fig. II-12와 같으나 protease作用으로 因한 凝乳現像은  $\kappa$ -casein이 分解되어 micelle의 安定化力이 상실됨으로써 일어난다.

Calf-rennin은  $\kappa$ -casein에 對한 一次的 反應으로 peptide鎖中 1個所 ~Phe-Met~間을 加水分解하여<sup>10</sup> para- $\kappa$ -casein과 casein glycopeptide를 生成한다. 이 casein glycopeptide部分에는  $\kappa$ -casein의 carbohydrate moiety가 包含되어 있고 또  $\text{Ca}^{++}$ 濃度의 增加에 依하여 Clotting time의 短縮이 일어난다. 따라서 Mucor-rennin의 凝乳機構의 解明을 以上과 같은 觀點下에서 calf rennin과 比較하였다.

#### ii) Mucor-rennin의 $\kappa$ -casein에 對한 作用

Mucor-rennin(MR), Calf-rennin(C.R.)은 ( $\alpha_1, \beta$ ) Casein보다  $\kappa$ -casein을 容易하게 加水分解시킴으로  $\kappa$ -casein에 對한 作用을 檢討하였다.<sup>10</sup> C.R.은  $\kappa$ -casein에 作用하여 凝集性의 para- $\kappa$ -casein과 含糖 peptide인 casein glycopeptide를 生成하고, 이 Casein glycopeptide는 結合되어 있는 糖의 効果로 12% TCA中에서도 可溶性이 된다.

M.R과 C.R의 作用中, 各 5%TCA可溶性區分의 peptide增加는 거의 같다(Fig. II-13).

para- $\kappa$ -casein, casein glycopeptide의 元素 및 Amino acid 분析의 結果를 比較하여 보아도 Table II-7, II-8과 같이 相互間에 同一하다. 特히 amino acid 分析值中의 para- $\kappa$ -casein의 phenylalanine量,

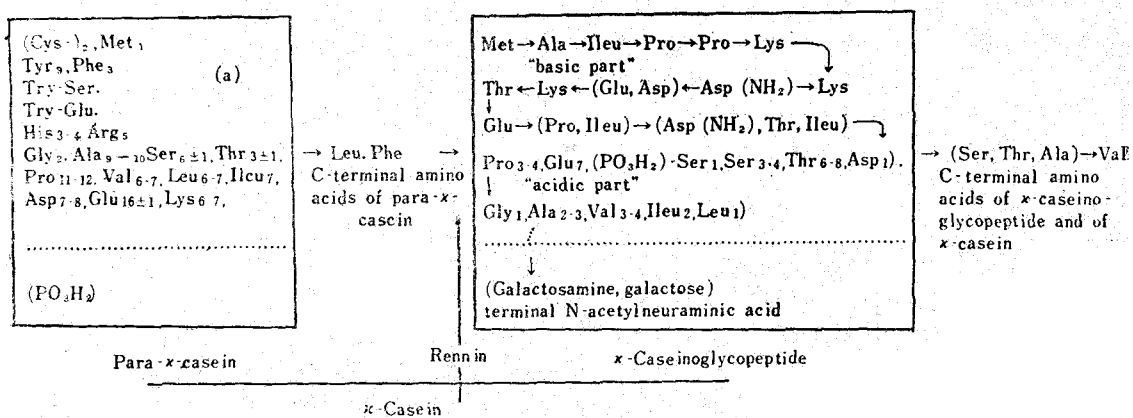


Fig. -12.  $\kappa$ -casein의 構造와 rennin作用<sup>10</sup>

caseinglylycopeptide 의 Methionine 量이 거의 같다는 것은, MR 과 CR 양쪽 모두가 k-casein 中의 Phe-Met 間을 加水分解함이 豫想된다.

o) k-casein 的 切斷點을 確實케 하기위하여 para-k-casein 的 C 末端 Amino acid 을 carboxypeptidase A, caseinglylycopeptide 的 N 末端 Amino acid 를 Edman 法에 依하여 調査하였다.

Table II-7. para k-casein, glycomacopeptide의  
元素分析

	C	H	N
	%	%	%
Calf-rennin에 依한 para k-casein	43.22	71.8	13.12
Mucor rennin에 依한 para k-casein	43.21	7.00	13.13
Calf rennin에 依한 Glycomacopeptide	21.86	4.02	5.02
Mucor rennin에 依한 Glycomacopeptide	21.75	4.07	4.95

Casein glycopeptide 는 kalan 等의 方法에 依하여 para-k-casein 除去後 反應液에 같은 量의 24% TCA 를 加하여 그의 可溶性 區分으로 부터 調製하였다.

Edman 法에 依한 N 末端 amino acid 的 paper Chromatogrphy 의 結果, N 末端은 CR 과 같이 Methionine 으로 確認되었다(Fig. II-14). 따라서 12% TCA 可溶性 區分에는 Methionine 을 N 末端을 가진 C.R 과 같은 casein glycopeptide 가 存在하고 있음 이 確認되었다.

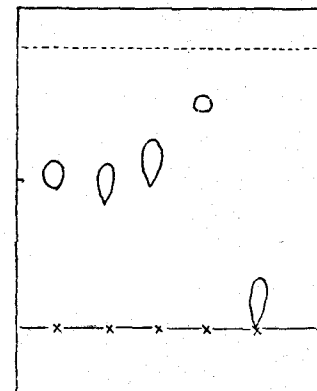


Fig. II-14. Caseinglylycopeptide의 N末端  
Amino acid의 paper Chromatogram.

Table. II-8. para k-casein, Glycomacopeptide의 Amino acid組成

Amino acid	k-Casein		para-k-Casein		Glycomacopeptide			
	Kalan-Woyschik	authors	Kalan-Woyschik	authors	Calf rennin	authors	Mucor rennin	authors
Aspartic acid	11.0	11.7	8.2	8.4	8.6	3.3	3.9	3.9
Threonine	12.1	10.7	5.2	3.8	4.2	7.4	7.2	6.8
Serine	11.0	10.4	7.6	7.0	7.1	3.4	4.2	4.0
Glutamic acid	24.9	26.0	17.9	18.4	18.9	8.7	8.4	8.4
Proline	17.5	18.3	12.9	13.6	13.4	5.3	6.2	5.9
Glycine	2.6	2.6	1.7	1.9	1.9	0.8	1.1	1.2
Alanine	13.4	12.8	9.7	9.8	10.2	4.0	4.0	3.9
Valine	10.2	10.0	6.5	6.4	6.6	3.9	3.9	3.8
Methionine	1.9	2.0	1.3	1.3	1.2	0.6	0.2	.....
Isoleucine	11.5	11.4	7.4	7.0	6.8	4.8	4.9	4.9
Leucine	8.7	9.0	8.0	8.3	8.2	0.6	1.0	1.3
Tyrosine	8.8	8.6	8.8	9.4	8.8	.....	0.05	0.1
Phenylalanine	4.2	4.2	4.1	4.2	4.1	0.2	0.3	0.4
Lysine	9.1	9.2	7.0	6.9	6.8	2.5	1.1	1.7
Histidine	3.0	3.0	2.9	2.8	2.8	.....	0.1	0.1
Arginine	5.0	5.0	5.0	4.9	4.7	0.3	0.3	0.4
Total residues	154.9	154.9	114.2	114.2	114.2	46.8	46.8	46.8

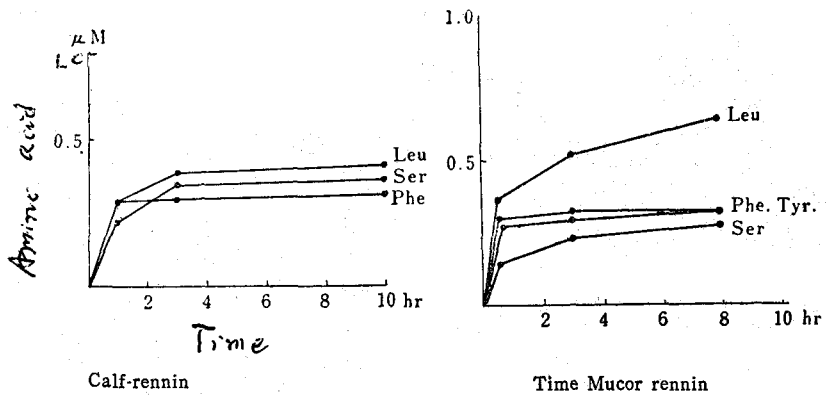


Fig. II-16. Carboxypeptidase A에 의한 para k-casein의 C末端 amino acid의 遊離

Fig. II-16은 para k-casein의 C末端 amino acid가 Cpase A에 의하여 遊離된 Amino acid로써  
對照의 CR은 Phe, Ser, Leu 이 遊離된 것에 比하여  
MR의 경우는 Phe, Ser, Leu 외에 Tyr이 確認되고

同量의 Tyr倍量의 Leu이 檢出되었다.  
MR은 Phe-Met間 以外에 k-casein 中의 Tyr-X  
Leu-Y를 切斷한다고 生覺되나, Nijo의 Dr, De,  
Konig等의 研究에서는 Fig. II-15과 같이 Phe,

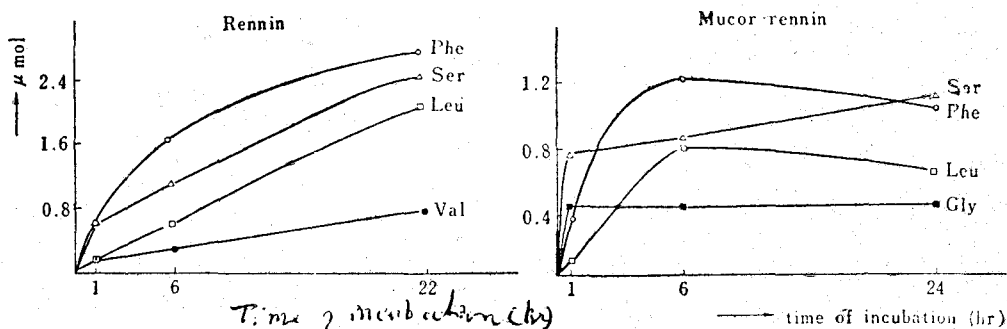


Fig. II-15. Carboxyl peptidase A에 의한 para k-caslin의 C末端 amino acid의 遊離

Ser, Leu은 양쪽이 다 存在하나 Tyr이 遊離되지  
않았으나 遊離된 Gly을 볼수 있었다. 그리고 MR의  
N末端으로서 methionine外는 檢出할수 없었다. 이  
것은 12%TCA中 含糖 peptide가 없고 다른 peptide  
에는 不溶性區分에 包含되어있기 때문이라 生覺된다.  
MR에 의한 para-k-casein의 C末端 amino acid  
에 關한 著者の結果와 De Koning의 結果가 다른  
原因은 明確치 않으나 적어도 M.R이 k-caseine의  
Phe-Met間을 切斷하는 것은 確實하다. 이 Phe-Met  
間은 peptide結合임으로 MR 및 CR의 基質特異性

으로 볼때 一次的으로 切斷되리라 생각하기는 어려  
우나 그것은 不安定한 結合을 하고있는 탓으로 切斷  
될다고 生覺된다.

k-casein 中의 carbohydrate部分은 Fig. II-16과  
각이 結合되어있다. Calf rennin作用으로 casein  
glycopeptide가 생긴다. Sialic acid는 이 carbohydrate  
部分에 galactose와의 中間에 2 Keto Sialic  
acid linkage을 만들고 末端基로써 結合되어 있다.  
Calf-rennin에는 이 sialic acid 단을 切斷遊離시키는  
Neuramidase의 活性은 없다. k-casein 中의 sialic

acid는 Warren法(Thiobarbituric發色)으로定量된다.

Mucor-rennin을 k-casein에作用한 다음 12%TCA中에可溶化된 sialic acid를定量할 때 k-casein中的全 sialic acid의 80%以上이可溶性區分에移動되고(Table. II-8) 또 0.1N-H<sub>2</sub>SO<sub>4</sub>에依하여 80°C 30

Table. II-8. Sialic acid의含量

Total sialic acid in casein	Maximum sialic acid amount in TCA-soluble solution	
	μg/mg	%
x-Casein	17.78	14.22
(α <sub>1</sub> +β)-Casein	3.20	0.98
Para-x-Casein	3.40	30.7

0.6% x-casein solution, 0.6% para x-casein solution, 1.0% (α<sub>1</sub>+β) casein solution.

分間處理하여 sialic acid를 carbohydrate moiety에서遊離되지 않을 경우 Warren法으로는陰性이었음으로 Mucor-rennin도 Neuramidase活性이缺다.<sup>10)</sup> 이러한結果로 Mucor-rennin은 k-casein의蛋白質部分의 peptide를加水分解하여 para-k-casein과 caseinlyopeptide를生成한다고結論지었다.

### iii) 凝乳機構에 있어서의 Ca<sup>++</sup>의作用

Calf-rennin의 M.C.A는牛乳基質에少量의 CaCl<sub>2</sub>含量이增加함으로써顯著히增加한다.<sup>2,11)</sup> Mucor-

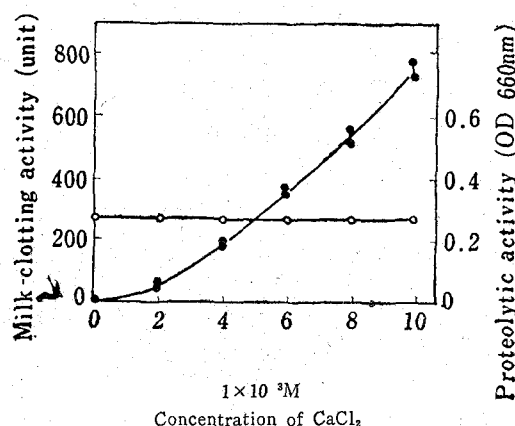


Fig. II-17.  $\text{CaCl}_2$ 의影響

- : Milk clotting activity.
- : Proteolytic activity

rennin에對한  $\text{Ca}^{++}$ 濃度의影響은 Calf-rennin보다크다.

Proteolytic activity에對해서는 Calf-rennin과같이 아무런效果가없었다.<sup>2)</sup> (Fig. II-17).

Casein의主成分인 ( $\alpha_1+\beta$ )-casein液에一定量의  $\text{CaCl}_2$ , k-casein, Mucor-rennin과各各混合하여遠心分離後, 上層液의 Casein溶解度를 O.D. 250 μm로測定하였다.

$\text{Ca}^{++}$ , k-casein溶液에  $\text{Ca}^{++}$ , ( $\alpha_1+\beta$ ) Casein液의添加量이 많아질수록 O.D. 250 μm은增加하였으나 k-casein代身에 para-k-casein을混合하였을경우에는 O.D. 250 μm의增大가볼수없었다(Fig. II-18). 이와같이 Mucor-rennin과 Calf-rennin은相

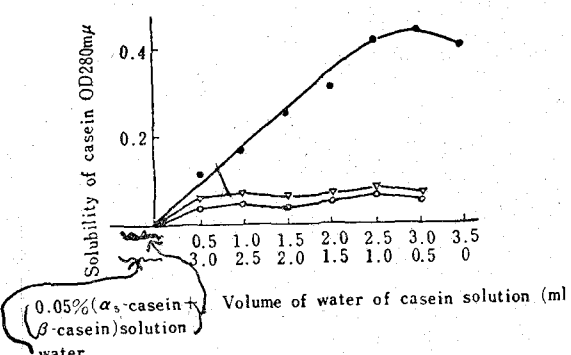


Fig. II-18. ( $\alpha_1+\beta$ )-casein의溶解度에對한  $\text{CaCl}_2$ , K-casein 및 para-K-casein의影響

- : 0.05% K-Casein solution
- △: 0.05% para-K-Casein solution (M.R.)
- : 同上 (C.R.) each 0.5ml
- : 0.1M  $\text{CaCl}_2$  solution 2.0ml

互間に각은結果를 나타냈다.<sup>2,8,12)</sup>

以上的結果로부터 k-casein만의 Micelle形成의 protective colloid能을 갖고있으나兩酵素作用에依하여生成된 para-k-casein은 그의protective colloid의性質을잃고,  $\text{Ca}^{++}$ 에依하여凝乳된다.<sup>2)</sup>

以上的MR의性質, Casein에對한作用의結果로부터 MR에依한凝乳機構는一次的으로 MR이 Casein micelle中의 k-casein을 para-k-casein과

casein glycopeptide로 加水分解하여, k-casein의 micelle 保護作用을 破壞하고, 二次的으로  $\text{Ca}^{++}$ 의 存在下에서 para casein이 凝集 即 凝乳을 일으킨다고 생각되므로 이는 CR의 凝乳機構와 基本적으로 같다고 생각된다(Fig. II-19).

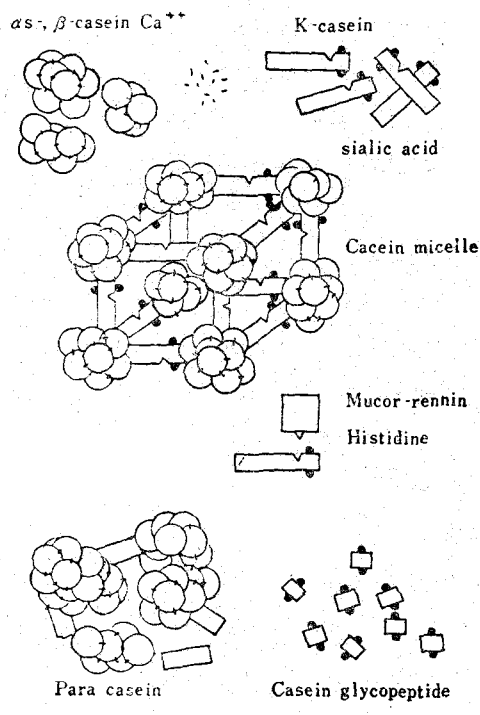


Fig. II-19. Mucor rennin의 凝乳機構

以上 Mucor-rennin의 諸性質에 對하여 記述하였으나, 이 acid protease는 Calf rennin과 類似한點이 많다. 따라서 치이즈製造用으로 많은 有利性質을 지니고 있으며, 實際로 世界各國에서 實驗한 치이즈製造結果는 Calf rennin과 比較하여 遜色없는 치이즈를 만들수 있음이 證明된다.

Mucor rennin은 acid protease로써, 매우 낮은 Protease活性과 限定된 基質特異性을 所有한 獨特한 酶素이다.

그의 立體構造 및 作用機構의 解明은 Pro otease研究의 一環으로 重要한 意義가 있으며 今後興味 있는 課題라 生覺된다.

### 参考文獻

- 1) J. Yu, G. Tamura and K. Arima, *Agr. Biol. Chem.*, 35, 1194 (1971).
- 2) J. Yu, G. Tamura and K. Arima, *Agr. Biol. Chem.*, 32, 1048 (1968).
- 3) K. Arima, J. Yu, and S. Iwasaki, *Method in Enzymology*, Academic Press, XIX, p.446 (1970).
- 4) J. Yu, G. Tamura and K. Arima, *Agr. Biol. Chem.*, 35, 1398 (1971).
- 5) S. Iwasaki, T. Yasui, G. Tamura and K. Arima, *Agr. Biol. Chem.*, 31, 1421 (1967).
- 6) H. Horinishi, Y. Hachimori, K. Kurihara and K. Shibata, *Biochem. Biophys. Acta.*, 86, 447 (1964).
- 7) J. Yu, H. Osawa, G. Tamura and K. Arima, *Korean J. Food Sci. Tech.*, 2, 43 (1970).
- 8) T. Oka, K. Ishino, H. Tsuzuki, K. Morihara and K. Arima, *Ag. Biol. Chem.*, 37, 1177 (1973).
- 9) J. Yu, H. Osawa and K. Arima, 東京大學學位論文에 發表投稿論文作成中.
- 10) J. Yu, W. Liu, G. Tamura and K. Arima, *Agr. Biol. Chem.*, 32, 1482 (1968).
- 11) J. Yu, G. Tamura, Y. Hong and K. Arima, *J. Korean Agr. Chem. Soc.*, 12, 7 (1969).
- 12) J. Yu, 東京大學博士學位(1968).

### 世界人口 半이상亞洲에

#### 74年度 유엔世界人口年鑑對照

全世界 人口의 半數이상인 21억 5천 4백만명이 「아시아」에 集中되어 있으며 두번째로 人口가 많은 大陸이 「유럽」으로 4억 6천 9백만명이 살고 있다고 「유엔」의 74년도 世界 人口年鑑이 밝혔다.

72년 中半期를 기준한 이 「유엔」統計는 人口順位로 본 世界10大國을 中共(8억 72만 1천)印度(5억 6천 3백 49만 4천)蘇聯(2억 4천 8백만)美國(2억 8백 84만 2천)「印도네시아」(1억 2천 1백 63만)日本(1억 5백 9만 4천)「브라질」(6천 8백 85만 4천)「西獨」(6천 67만 4천)「朋글라데시」(6천 67만 5천)「니제르」(5천 8백 2만)順으로 끊었다.

이統計는 또 「네덜란드」의 女性들이 76.7세라는 世界에서 가장 높은 평균 수명을 기록하고 있으며 「스웨덴」「아일랜드」「프랑스」 및 「러시아」女性들이 76세로 그 다음을 차지하고 있다고 밝혔다.

